

NMR Strukturbestimmung

Peter Güntert

Inhalt

1. Konformationsdaten aus NMR Messungen
2. Strukturbeschreibung mit Atomkoordinaten oder Torsionswinkel
3. Strukturbestimmung: grundsätzliche Möglichkeit, praktische Schwierigkeiten
4. Strukturberechnungsalgorithmen: interaktiver Modellbau, Distanzgeometrie, Optimierung einer Zielfunktion, Simulated Annealing, Moleküldynamiksimulation, Torsionswinkeldynamik
5. Darstellung von NMR Strukturen: Strukturbündel, RMSDs
6. Automatisierung der NOE-Zuordnung und Strukturberechnung
7. Strukturbestimmung mit Festkörper-NMR: Alzheimer peptide/Fibrillen
8. Informationsgehalt von Distanz einschränkungen
9. Strukturanalyse: Übereinstimmung mit experimentellen Daten, Verletzungen von Konformationseinschränkungen, RMSD, Ramachandranplot, Validierung

Konformations- daten aus NMR Messungen

Konformationsdaten aus NMR Messungen

1. NOEs
2. 3J skalare Kopplungen
3. H-Brücken
4. Chemische Verschiebungen
5. Residuelle dipolare Kopplungen (RDC)
- ...

NOE (Nuclear Overhauser Effect)

NMR Daten: Integral V von NOESY Kreuzsignalen
 Konformationsdaten: obere Schranken für ^1H - ^1H Distanzen, d
 Für isoliertes Spinpaar im starren Molekül:

$$V = C/d^6 \quad \text{mit } C = \text{konstant}$$

Eigenschaften:

- nur kurze Distanzen < 5 Å messbar
 - dichtes Netzwerk bzgl. der Sequenz kurz- und langreichweitiger Distanzschranken
 - viele ^1H Atome im Molekül → "Spindiffusion"
 - interne Bewegungen → nicht-lineare Mittelung
 - Bestimmung der Konstanten C ?
 - Überlapp → mehrdeutige Zuordnung, verfälschte Integrale
- Verwendung als obere Distanzschranken

NOE Calibration

$$V = C / d^6$$

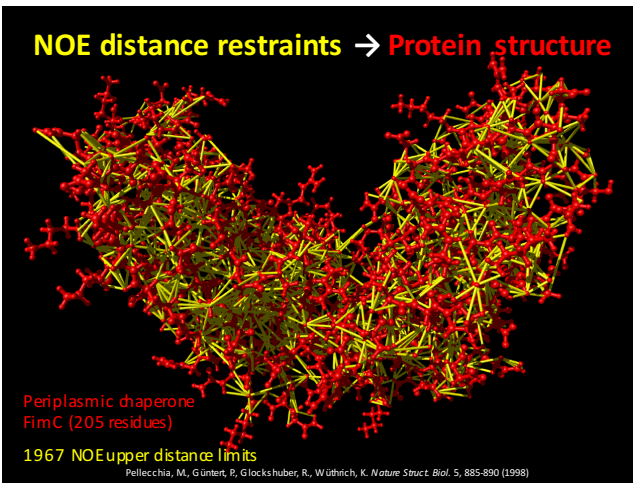
Volume of
NOESY
cross peak

/ "Calibration
constant"

Distance
(upper
distance
bound)

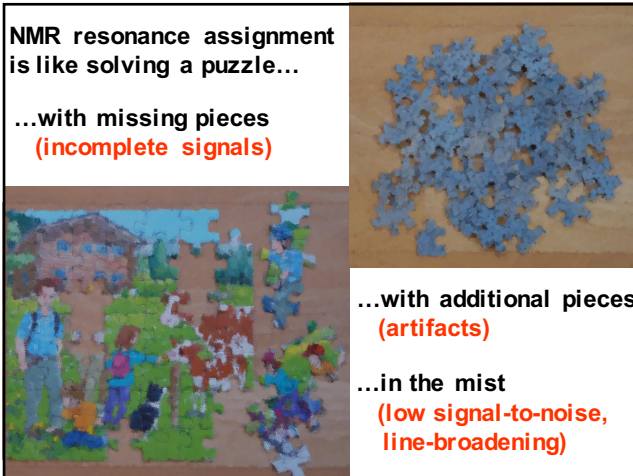
How to set the calibration constant?

- Known distances (intraresidual or in standard secondary structures)
- Preliminary structure, if available
- User-defined value for the average (median) upper distance limit

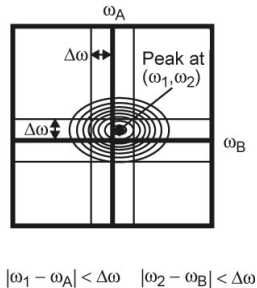


Problems when interpreting NOEs

- Internal motion
- Spin diffusion
- Spectral overlap
- Chemical shift degeneracy
- Time consuming spectral analysis, if done manually → automation



Ambiguity of chemical shift based NOE assignment

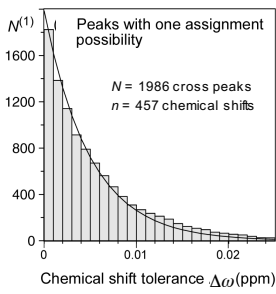


In general, several different ^1H chemical shifts ω_A, ω_B match the position of a NOESY peak within the experimental uncertainty $\Delta\omega$.

→ Assignment ambiguity

Manual assignment is very cumbersome!

NOEs with a unique chemical shift based assignment



2D NOESY:
 $N^{(1)} \approx N \exp(-4n \Delta\omega / \Delta\Omega)$

3D NOESY:

$N^{(1)} \approx N \exp(-2n \Delta\omega / \Delta\Omega)$

$N^{(1)}$ Number of uniquely assigned peaks

N Number of cross peaks

n Number of chemical shifts

$\Delta\omega$ Chemical shift tolerance

$\Delta\Omega$ Spectrum width

Ambiguous distance restraints

$$d_{\text{eff}} = \left(\sum_k d_k^{-6} \right)^{-1/6} \leq b$$

upper distance bound
 distance for assignment possibility k
 sum over all assignment possibilities

- Restraint with multiple assignments
 - If one assignment possibility leads to a sufficiently short distance, then the ambiguous distance restraint will be fulfilled.
- The presence of wrong assignment possibilities has no (or little) influence on the structure, as long as the correct assignment possibility is present.

Nilges et al., *J. Mol. Biol.* 269, 408–422 (1997)

Properties of ambiguous distance restraints

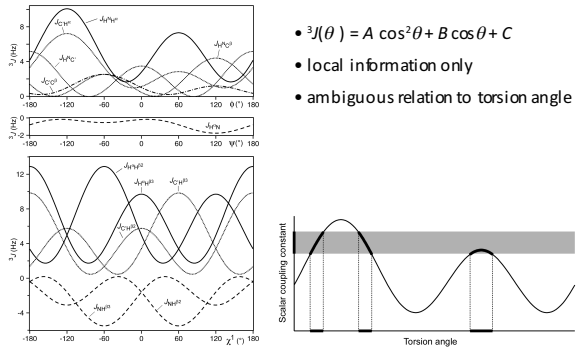
$$d_{\text{eff}} = \left(\sum_k d_k^{-6} \right)^{-1/6}$$

- d_{eff} is never longer than any of the individual distances d_k :
 $d_{\text{eff}} \leq d_k \quad \text{for all } k$
- d_{eff} is close to the smallest individual distance:
 $d_{\text{eff}} \approx d_1 \quad \text{if } d_1 < d_2, d_3, \dots$
- Examples: $d_1 = 3 \text{ \AA}$, $d_2 = 10 \text{ \AA}$ → $d_{\text{eff}} = 2.9996 \text{ \AA}$
 $d_1 = 3 \text{ \AA}$, $d_2 = \dots = d_{10} = 10 \text{ \AA}$ → $d_{\text{eff}} = 2.9967 \text{ \AA}$

3J skalare Kopplungen

- NMR Daten: Aufspaltung eines Signals
Konformationsdaten: Einschränkungen von Torsionswinkeln, θ
Karplus-Kurve: $^3J(\theta) = A \cos^2 \theta + B \cos \theta + C$ mit empirischen Konstanten A, B, C
Zum Beispiel: $^3J_{\text{HNH}\alpha}(\phi)$, $^3J_{\text{H}\alpha\text{H}\beta}(\chi^1)$
Eigenschaften:
 - Information nur über lokale Konformation
 - mehrdeutige Beziehung $^3J \leftrightarrow \theta$

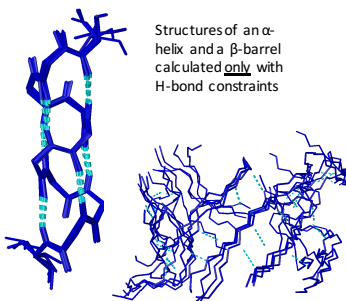
3J scalar couplings



H-Brücken

- NMR Daten: langsamer $^1\text{H} \rightarrow ^2\text{H}$ Austausch + NOEs
Konformationsdaten: Donor-Akzeptor Distanz
Typische H-Brücken: -N-H ••• O=C- in regulären Sekundärstrukturen (Helices, β -Blätter)
Eigenschaften:
 - Bzgl. Sequenz mittel- und langreichweitig
 - Donor (H) identifizierbar
 - Akzeptor (O) i. A. nur indirekt bestimmbar (benachbarte NOEs + Annahmen über Sekundärstruktur)

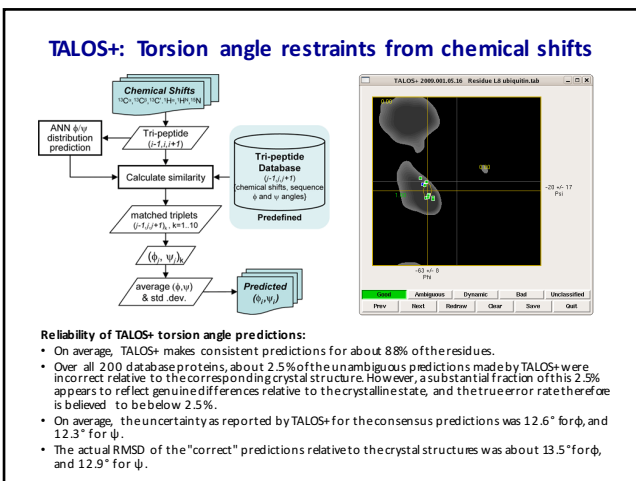
Impact of hydrogen bond restraints



- Strong impact on structure
- Direct detection of H-bonds by NMR is possible, but not sensitive
- Without identification of acceptor atom ≈ assumption on secondary structure

Chemische Verschiebungen

- NMR Daten: chem. Verschiebungen, δ
Konformationsdaten: (ϕ, ψ) Torsionswinkelbereiche
Komplexe Beziehung: $\delta \leftrightarrow (\phi, \psi)$
Eigenschaften:
 - einfache Messung
 - (ϕ, ψ) -Werte aus Datenbank von Proteinen mit bekannter Struktur und chem. Verschiebungen (TALOS)
 - Information über lokale Konformation bzw. Sekundärstruktur



Residuelle dipolare Kopplungen (RDC)

NMR Daten: Zusätzliche Signalaufspaltung bei partieller Molekülausrichtung, z.B. $^1J_{NH} \rightarrow ^1J_{NH} + D_{NH}$

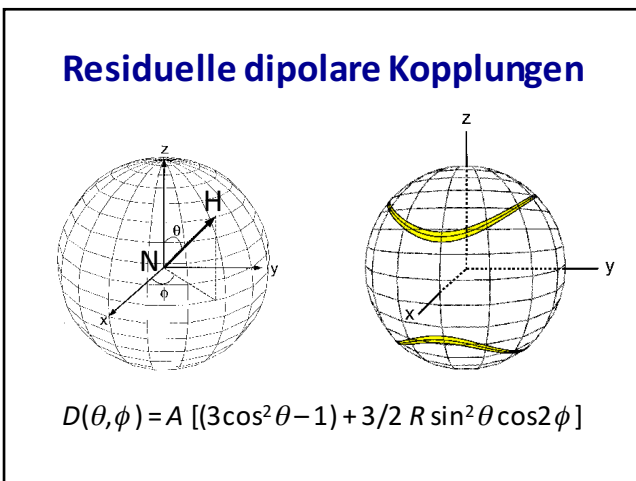
Konformationsdaten: Orientierung von Bindungen relativ zur Molekülausrichtung

Residuelle dipolare Kopplung: $D(\theta, \phi) = A[(3\cos^2\theta - 1) + 3/2 R \sin^2\theta \cos 2\phi]$

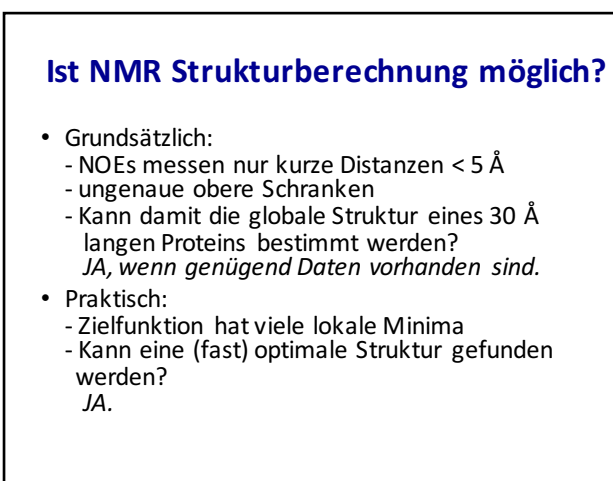
A, R Amplitude (Betrag) und Rhombizität (Abweichung von Rotationssymmetrie) des Ausrichtungstensors
 θ, ϕ Richtung der Bindung relativ zum Ausrichtungstensor (Polarkoordinaten)

Eigenschaften:

- Proteinprobe in schwach ausrichtendem Medium (Flüssigkristalle/Bizellen, fadenförmige Phagen, komprimierte Gele)
- Information über globale Konformation, z.B. relative Ausrichtung von Domänen
- Entartung: 1 Messwert → Doppelkegel von Richtungen
- Bestimmung des Ausrichtungstensors (A, R)?



Strukturberechnungs-algorithmen



Strukturberechnungsalgorithmen

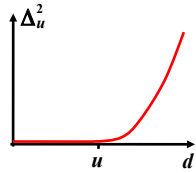
- Frühere Methoden:
 - Interaktiver Modellbau
 - Distanzgeometrie
 - Minimierung einer variablen Zielfunktion
- Simulated annealing:
 - Monte Carlo
 - Moleküldynamiksimulation im kartesischen Raum
 - Moleküldynamiksimulation im Torsionswinkelraum

CYANA target function

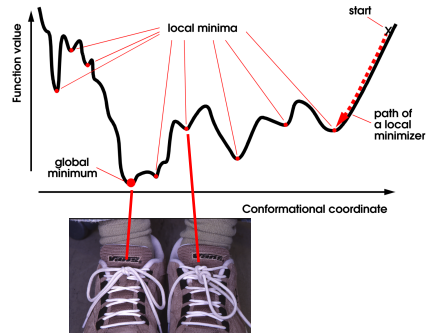
$$T = \sum_{\text{upper distance limits (NOEs)}} \Delta_u^2 + \sum_{\text{lower distance limits (steric)}} \Delta_l^2 + \sum_{\text{torsion angle restraints}} \Delta_a^2 + \dots$$

$\Delta_u, \Delta_l, \Delta_a$: restraint violations,

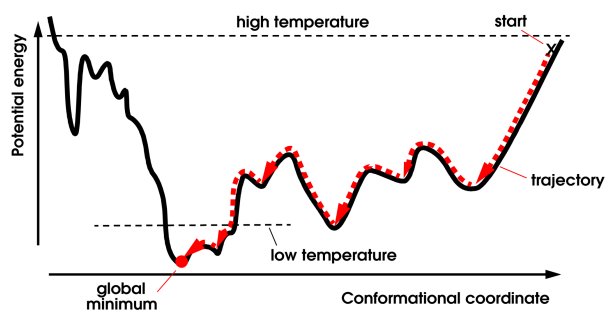
e. g., $\Delta_u = \begin{cases} d - u & \text{if } d > u \\ 0 & \text{otherwise} \end{cases}$



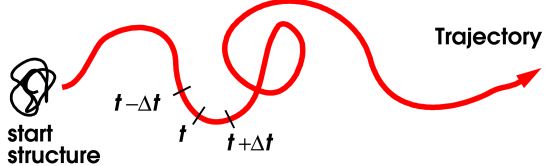
Target function = potential energy



Simulated annealing



Molecular Dynamics Simulation



Numerical integration of classical equations of motion

Integration of the equations of motion

e.g. "leap-frog" algorithm

$$q(t + \Delta t) = q(t) + \Delta t \dot{q}(t + \Delta t/2) + O(\Delta t^3)$$

$$\dot{q}(t + \Delta t/2) = \dot{q}(t - \Delta t/2) + \Delta t \ddot{q}(t) + O(\Delta t^3)$$

q coordinates (Cartesian or torsional)

$\dot{q} = \frac{dq}{dt}$ velocities

$\ddot{q} = \frac{d^2q}{dt^2}$ accelerations

Δt time step

Atomkoordinaten Torsionswinkel

Strukturbeschreibung

Atomkoordinaten (kartesische Koordinaten):

- 3 Freiheitsgrade pro Atom
- abhängig von der Wahl des Koordinatensystems
- beinhalten auch "unwichtige" Freiheitsgrade
- einfach

Torsionswinkel (= Diederwinkel, Dihedralwinkel):

- Drehungen um Einfachbindungen
- interne Koordinaten
- essentielle Freiheitsgrade
- Bindungslängen, Bindungswinkel fest
- kompliziertere aber effizientere Algorithmen

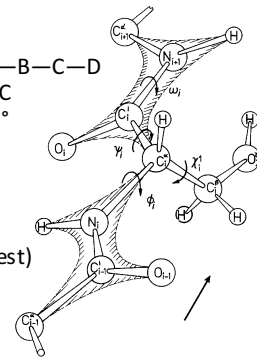
Torsionswinkel

- Definiert durch 4 Atome: A—B—C—D

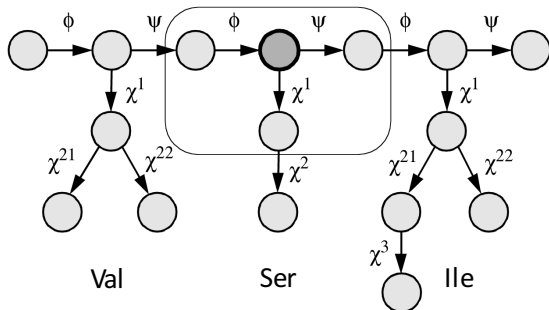
- Drehung um Bindung B—C
- Werte von -180° bis +180°

- Torsionswinkel von AS i :

ϕ_i : $C'_{i-1}—N_i—C^\alpha_i—C'_i$
 ψ_i : $N_i—C^\alpha_i—C'_i—N_{i+1}$
 ω_i : $C^\alpha_i—C'_i—N_{i+1}—C^\alpha_{i+1}$ (fest)
 χ^1_i : $N_i—C^\alpha_i—C^\beta_i—C^\gamma_i$



Torsionswinkel: Baumstruktur



MD Simulation im Torsionswinkelraum "Torsionswinkeldynamik"

- Klassische Mechanik
- N Torsionswinkel als einzige Freiheitsgrade
- Etwa 10 Mal weniger Freiheitsgrade als im kartesischen Raum.
- Feste Bindungslängen und -winkel:
→ "Einfrieren" der schnellsten Bewegungen
→ Längere Zeitschritte

Jain, Vaidehi, Rodriguez, *J. Comp. Phys.* 106, 258–268 (1993)
Güntert, Mumenthaler, Wüthrich, *J. Mol. Biol.* 273, 283–298 (1997)

Equations of motion

Cartesian coordinates: x_1, \dots, x_N

$$m_i \ddot{x}_i = - \frac{\partial E_{\text{pot}}}{\partial x_i} \quad (\text{Newton})$$

Generalized coordinates: q_1, \dots, q_n

$$\frac{d}{dt} \left(\frac{\partial L}{\partial \dot{q}_k} \right) - \frac{\partial L}{\partial q_k} = 0 \quad (\text{Lagrange})$$

with $L = E_{\text{kin}} - E_{\text{pot}}$

Molecular Dynamics

Cartesian space

$$E_{\text{kin}} = \frac{1}{2} \sum_{i=1}^N m_i \dot{x}_i^2 \quad \text{Kinetic energy}$$

diagonal, constant
(elements m_i)

proportional to N

Computational complexity

Torsion angle space

$$E_{\text{kin}} = \frac{1}{2} \sum_{k,l=1}^n M(\theta_{kl}) \dot{\theta}_k \dot{\theta}_l$$

Mass matrix M

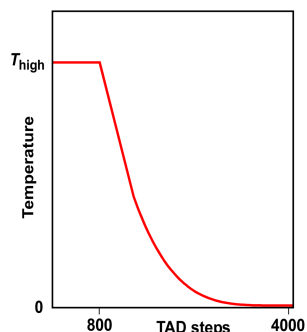
Accelerations

solving linear system
of equations: $\sim n^3$

exploiting tree structure
of the molecule: $\sim n$

Simulated annealing protocol

- Start from random structure
- Use all restraints simultaneously
- Adjustable parameters:
 - start temperature, T_{high}
 - number of TAD steps



Temperature control

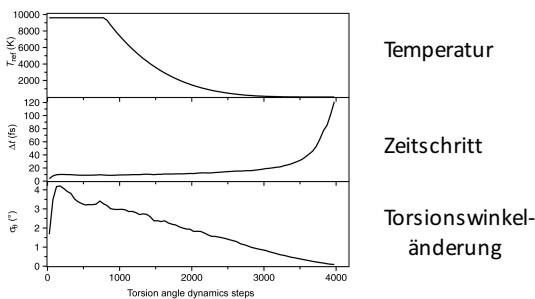
Weak coupling to a heat bath is used to control the temperature:

$$\dot{\theta} \leftarrow \dot{\theta} \sqrt{1 + \frac{T^{\text{ref}} - T}{\tau T}}$$

$$\begin{aligned} \dot{\theta} & \text{ torsional velocities} \\ T & \text{ instantaneous temperature, } T = \frac{2E_{\text{kin}}}{nk_B} \\ & \text{coupling constant} \end{aligned}$$

(Berendsen et al., J. Chem. Phys. 81, 3684–3690, 1984)

Simulated annealing mit Torsionswinkeldynamik



Strukturbündel RMSDs



NMR Structure Calculation:
Multiple Conformers

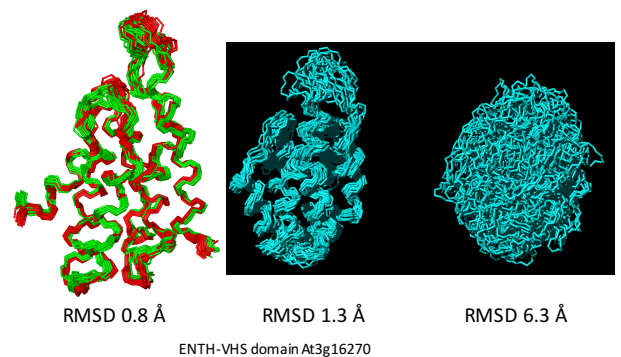


**NMR Structure Calculation:
Select Converged Conformers**

Strukturbündel

- 100 Startstrukturen mit zufälligen Torsionswinkeln
- 100 unabhängige simulated annealing Läufe mit:
 - gleichen experimentellen Daten
 - unterschiedlichen Startstrukturen
- Auswahl der 20 "besten" Strukturen mit den tiefsten Zielfunktionswerten
- Sampling des Konformationsraums?

Strukturbündel



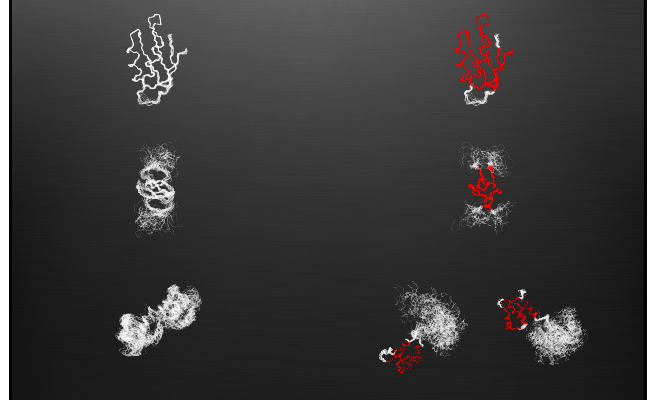
RMSD (root-mean-square deviation)

- Zwei Strukturen mit n Atomen und Koordinaten $\mathbf{x}_1, \mathbf{x}_2, \dots, \mathbf{x}_n$ und $\mathbf{y}_1, \mathbf{y}_2, \dots, \mathbf{y}_n$

$$RMSD = \min_{R, \vec{t}} \sqrt{\frac{1}{n} \sum_{i=1}^n |\vec{x}_i - R\vec{y}_i - \vec{t}|^2}$$

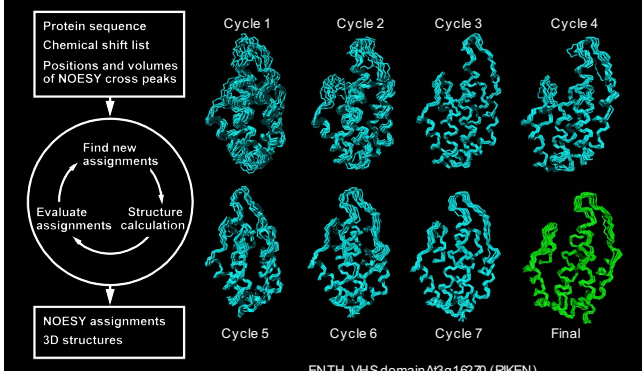
- Minimum über alle Rotationen R und Translationen $\vec{t} \rightarrow$ optimale Überlagerung

All Residues CYRANGE Domains



Automatische NOE Zuordnung

Automated NOESY assignment and structure calculation with CYANA



Output overview table

Cycle	1	2	3	4	5	6	7	final
Peaks:								
selected	5439	5439	5439	5439	5439	5439	5439	5439
with assignment	5100	4806	4742	4742	4712	4678	4675	
without assignment	339	633	697	690	727	761	764	
with diagonal assignment	12	12	12	12	12	12	12	
Cross peaks:								
with off-diagonal assignment	5088	4794	4730	4737	4700	4666	4663	
with unique assignment	675	3591	3872	3950	4115	4195	4194	
with short-range assignment i-j <=1:	3295	3208	3165	3154	3120	3102	3089	
with medium-range assignment 1 < i-j <=5:	1020	925	921	914	904	884	893	
with long-range assignment i-j >=5:	773	661	644	669	676	680	681	
Upper distance limits:								
total	3786	2996	2832	2789	2707	2643	2683	2721
short-range, i-j <=1	2007	1586	1476	1390	1354	1348	1273	1304
medium-range, i-j <=5	1220	959	787	775	751	726	700	765
long-range, i-j >=5	559	451	559	574	568	569	650	662
Average assignment/restraint	4.81	1.73	1.27	1.25	1.18	1.14	1.00	1.00
Average target function value	230.84	69.79	68.20	9.22	3.99	2.98	1.70	0.43
RMSD (residues 15...130):								
Average backbone RMSD to mean	1.34	0.97	0.57	0.67	0.68	0.60	0.53	0.53
Average heavy atom RMSD to mean	1.76	1.44	1.09	1.19	1.20	1.07	0.98	1.01

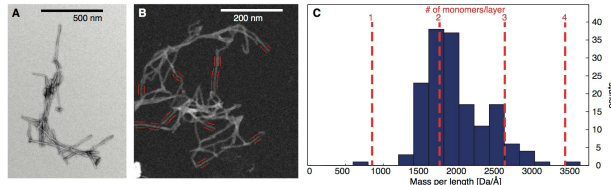
CYANA Computation Time

- Combined NOE assignment and structure calculation of a 114 amino acid residue protein with the program CYANA:
 - 8 cycles × 100 conformers = **800 structures**
 - 10000 torsion angle dynamics steps per conformer
- Linux cluster system with Quad-core Intel Xeon E5462 (2.8 GHz, 12 MB cache), 2 GB memory/core

Processors	Computation time (s)
100	147
50	217
25	354
10	769

A β 1-40 E22 Δ

A β 1-40 E22 Δ fibrils



Anne Schütz, Toni Vagt, Matthias Huber, Oxana Y. Ovchinnikova, Riccardo Cadalbert, Joseph Wall, Anja Böckmann, Rudi Glockshuber, Beat Meier

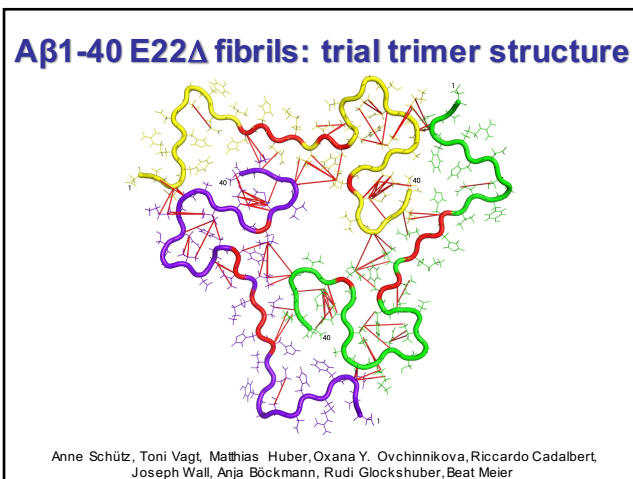
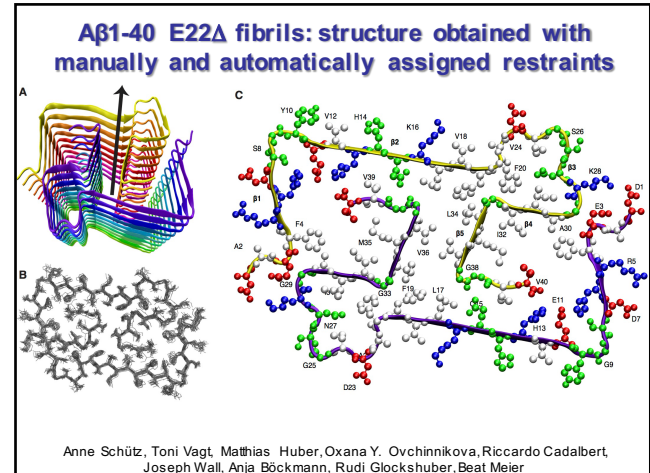
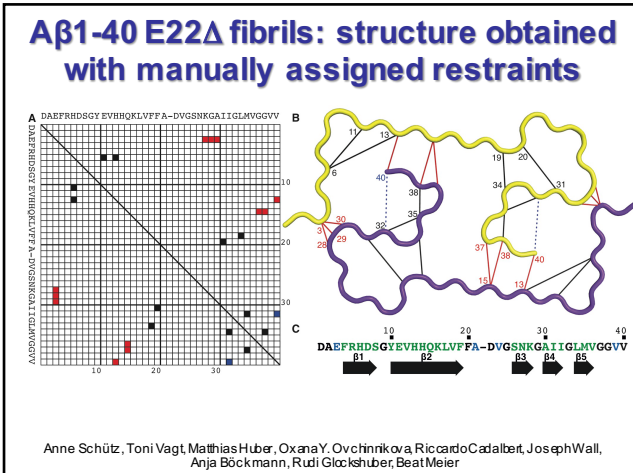
A β 1-40 E22 Δ fibrils: structure calculation

- 2 (or 3?) monomers perlayer
- One set of resonances: symmetric arrangement
- System for calculation: 2 x 5 monomers
- β -sheet H-bonds along fibril axis
- NMR distance restraints intramolecular or intermolecular within one layer
- Symmetry restraints to keep all monomers identical and in symmetric relative orientation

A β 1-40 E22 Δ fibrils: manually assigned restraints

DARR ^a	α_1	α_2	PAR ^b	α_1	α_2	POSD ^c	α_1	α_2
E3-K28	E3	K28 CG	E3-K28	E3 CA	K28 CG	A3-A30	A2 CA	A35 CA
E3-K29	E3	K29 CG	E3-K29	E3 CA	K29 CG	H3-A30	H3 CA	H35 CA
E3-A30	E3	A30 CA	E3-A30	E3 CA	A30 CA	H3-A30	H3 CA	H35 CA
E3-A30	E3 CA	A30 CA	E6-E13	E6 CE1	H6 CE1	H3-V40	H13 CA	V45 CA
H3-V40	H13 CE1	V40 CA	P19-L34	L34 CG	P19 CA	V40 CA	V13 CG	V40 CA
H3-V40	H13 CE1	V40 CA	P19-L34	L34 CG	P19 CB	H13 CG	V40 CA	V40 CA
V40 C	V40 C	H13 CA	132-M35	M35 CG	M35 CB	132-M35	132 CG	132 CG
V40 C	V40 C	H13 CE1	132-M35	M35 CG	M35 CB	132-M35	132 CG	132 CG
V40 CA	V40 CA	H13 CD2	132-M35	M35 CG	M35 CB	132-M35	132 CG	132 CG
H6-E11	H6 CD2	B11 CG	132-M35	M35 CG	M35 CB	132-M35	132 CG	132 CG
B11 CG	B11 CG	H6 CE1	CHHC ^d	α_1	α_2	P19-L34	F19 CA	L34 CB
F19 CB	F19 CB	I34 CG	P19-L34	F19 CA	I34 CB	H3-V40	H3 CA	P19 CB
I34 CG	I34 CG	P19 CB	H3-V40	H3 CA	P19 CB	V40 C	V13 CG	V40 CA
F20-C11	F20 CG	I31 CG2	P19-L34	P19 CB	I34 CG	L34 CG	F19 CA	L34 CG
F20 CG	F20 CG	I31 CG2	132-M35	M35 CG	M35 CB	132-M35	132 CG	132 CG
I32-M35	I32 CG2	M35 CB	132-M35	M35 CG	M35 CB	132-M35	132 CG	132 CG
M35 CB	M35 CB	I32 CG2	132-M35	M35 CG	M35 CB	132-M35	132 CG	132 CG
G38 C	G38 C	I32 CG2	PAIN ^d	α_1	α_2	G37-C37	L34 CG	G37 CA
G38 C	G38 C	I32 CG2	PAIN ^d	F19 CA	I34 CB	G37-C37	G37 CA	L34 CG
G38 C	G38 C	I32 CG2	PAIN ^d	H3-V40	H3 CA	G37-C37	G37 CA	
G38 C	G38 C	I32 CG2	PAIN ^d	V40 C	H3 ND1	G37-C37	G37 CA	
G38 C	G38 C	I32 CG2	PAIN ^d	V40 CA	H3 ND1	G37-C37	G37 CA	
G38 C	G38 C	I32 CG2	PAIN ^d	Q15-Q37	G37 CA	Q15 NE2		
G38 C	G38 C	I32 CG2	PAIN ^d	Q15-Q37	G38 CA	Q15 NE2		

Anne Schütz, Toni Vagt, Matthias Huber, Oxana Y. Ovchinnikova, Riccardo Cadalbert, Joseph Wall, Anja Böckmann, Rudi Glockshuber, Beat Meier



Information content

